УДК: 669.05: 536.2: 662.613.128

#### А.М. Гришин, В.К. Симонов, И.С. Щеглова

Национальная металлургическая академия Украины

### О НЕСООТВЕТСТВИИ КИНЕТИЧЕСКИХ ЗАКОНОМЕРНОСТЕЙ ТЕРМОДИНАМИЧЕСКИМ ПРЕДПОСЫЛКАМ РЕАКЦИЙ ГАЗИФИКАЦИИ УГЛЕРОДА Н,О И СО,

Аннотация. Представлены результаты исследований газификации углеродистых материалов  $CO_2$ ,  $H_2O$  и их смесью. Установлены скоростные преимущества паровой газификации перед углекислотной. Такой результат, не согласующийся с термодинамическими возможностями процесса выше  $\sim$ 1073 K, объяснен закономерностями диффузионного газообмена и особенностями адсорбционно-химических взаимодействий в ходе указанных гетерогенных реакций. Установлено, что скорость газификации  $C_{18}$  смесью  $CO_2 - H_2O$  превосходит сумму скоростей раздельно проведенных реакций. Эта неаддитивность результатов определяется дополнительным вовлечением окислительного потенциала  $CO_2$  в газификацию  $C_{18}$  через посредничество образующегося водорода.

**Ключевые слова**: углерод, водяной пар, диоксид углерода, газификация, скорость, термодинамические предпосылки, диффузионный газообмен, адсорбционно-химические взаимодействия.

# ABOUT DISPARITY OF KINETIC CONFORMITIES TO LAW TO THERMODYNAMICS PRECONDITIONS OF REACTIONS OF CARBON GASIFICATION BY H,O AND CO,

Abstract. Results of researches of carbon materials gasification by  $CO_2$ ,  $H_2O$  and their mixture are presented Speed advantages of steam gasification are set in comparison with carbon-dioxide one. Such result is not concordant with thermodynamics possibilities of process at temperatures higher ~1073 K and can be explained by conformities to law of diffusive interchange of gases and features of adsorption-chemical co-operations during indicated heterogeneous reactions. It is set that speed of  $C_{\text{solid}}$  – gasification by mixture of  $CO_2$  –  $H_2O$  excels the sum of speeds of reactions separately carried out. This nonadditivity of results is determined by additional engaging of  $CO_2$  – oxidizing potential in  $C_{\text{solid}}$  – gasification through mediation of appearing hydrogen.

Keywords: carbon, water vapor, carbon dioxide, gasification rate thermodynamic prerequisites diffusion gas adsorption and chemical interactions.

Окислительная газификация углеродистых материалов с участием  ${\rm CO_2}$ ,  ${\rm H_2O}$  и их смесей не только открывает возможность получения энергетических и технологических газов. Она служит неотьемлемым, а зачастую и ведущим звеном в процессах извлечения ряда металлов из руд, в частности при углетермическом и комплексном (газово-углетермическом) восстановлении железа, хрома и др. Этим определяется интерес к изучению указанного процесса. Однако о скоростном соотношении реакций углекислотной и паровой газификации  ${\rm C_{rp}}$  мнение неоднозначно [1, 2].

Результаты прежних [3, 4] и настоящих исследований авторов однозначно свидетельствуют в пользу последней из вышеуказанных реакций. Это иллюстрируется экспериментальными данными, графически представленными на рис. 1, a. Дополнительным аргументом могут служить результаты опытов, показавших, что частичная замена  $CO_2$  водяным паром не замедляет, а существенно интенсифицирует процесс (рис. 1,  $\delta$ ). Однако нельзя не отметить факт несоответствия установленных кинетических закономерностей термодинамическим предпосылкам газификации  $C_{_{TB}}$  диоксидом углерода и водяным паром. Действительно, чуть выше 1073 К преимущество в сродстве к кислороду переходит от CO к  $H_2$ . Изменение свободной энергии в реакциях

$$C + CO_2 = 2CO (1)$$

$$C + H_2O = H_2 + CO^*$$
 (2)

указывает на предпочтительность первой из них. Термодинамические соотношения, полученные на базе сведений [5], иллюстрируются рис. 2.

Устранить противоречия между термодинамическими предпосылками и экспериментальными данными позволяет учет особенностей течения гетерогенных реакций (1) и (2). Прежде всего следует иметь ввиду, что коэффициент свободной диффузии  $D_{\rm H_2/H_2O}$  в несколько раз превосходит  $D_{\rm CO/CO_2}$  [6]. Поэтому внешний, меж- и внутричастичный газообмен в достаточно крупных порах в системе Н<sub>2</sub>-H<sub>2</sub>O протекает быстрее, чем в системе СО-СО2. Преимущества более легких газов (Н2, Н2О) сохраняются в смесях сложного состава с участием моно- и диоксида углерода. В тонких порах частиц шихты, на которые распространяются законы кнудсеновского молекулярного течения, каждый из газов перемещается независимо от других. При этом коэффициент диффузии  $D_{\nu}$  обратно пропорционален корню квадратному из молекулярной массы газа. Следовательно при

<sup>\*</sup> Выше 1173 К равновесная концентрация СО<sub>2</sub> пренебрежимо мала.

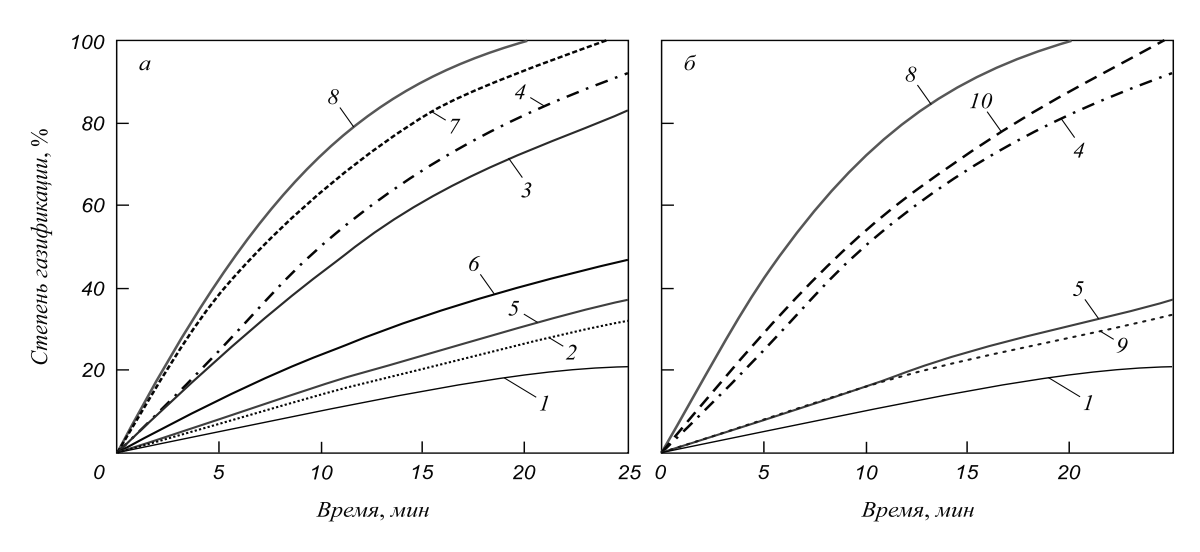


Рис.1. Кинетика газификации различных углеродистых материалов при 1273 К:  $a-\mathrm{CO}_2$  (I-4),  $\mathrm{H}_2\mathrm{O}$  (5-8);  $\delta-$  диоксидом углерода (I,4) водяным паром (5,8) и смесью 70 %  $\mathrm{CO}_2+30$  %  $\mathrm{H}_2\mathrm{O}$  (9,10). I,5,9- графит; 2,6- металлургический кокс; 3,7- пиролигнин; 4,8,10- древесный уголь

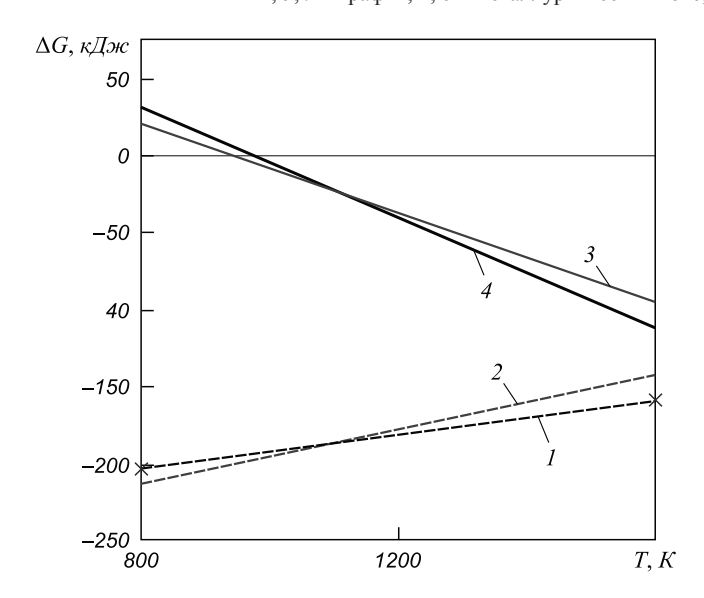


Рис. 2. Температурная зависимость изменения свободной энергии  $(\Delta G_{\rm O}) \text{ в реакциях}:$   $I-H_2+1/2O_2=H_2O; \ 2-CO+1/2O_2=CO_2;$   $3-C+H_2O=CO+H_2; \ 4-C+CO_2=2CO$ 

любом механизме диффузии транспорт  $H_2 - H_2 O$  осуществляется наиболее быстро.

Подробного рассмотрения требуют особенности течения адсорбционно-химических взаимодействий СО и Н<sub>2</sub>О с твердым углеродистым материалом. Первичным актом этих взаимодействий является адсорбция молекул окислителей на поверхности  $C_{_{\mathrm{TR}}}$ . Развитие ее при температурах, исключающих химическое реагирование, изучено авторами газохроматографическим методом. Экспериментальные данные, как показала проверка, наиболее адекватно описываются уравнением изотермы Ленгмюра  $\Gamma_i = a_i P/(1 + a_i P)$  с коэффициентом корреляции  $y \ge 0.9$ , где  $\Gamma_i$  – значение адсорбции газов на поверхности углеродистых материалов;  $L_i$  – коэффициент адсорбции газов; P – парциальное давление газа. Результаты измерений с дифференциацией на обратимую адсорбцию  $\Gamma^{\text{об}}$  и необратимую  $\Gamma^{\text{н}}$  (или хемосорбцию) приведены в табл. 1.

Из сопоставления экспериментальных данных следует, что суммарная адсорбция ( $\Gamma^{of} + \Gamma^{H}$ ) и необратимая

Таблица 1

Dan waren to mark to a woom from CO	·· II O ·· · · · · · · · · · · · · · · ·	
Различные виды адсорбции СО,	и н.О на поверхности графита і	a hoebechoro vina iida 5/5 K
	,	- ~p

р с Окисли-		Характер	Предельное значение		Адсорбция $\Gamma^{i}$ . $10^{6}$ моль/г при $P$ , к $\Pi$ а					
Вил С.	адсорбции $\Gamma_{\infty} \cdot 1$ моль/г	адсорбции $\Gamma_{_\infty}$ · $10^6$ , моль/г	10		20	30	40	50	60	
CO <sub>2</sub>	необр.	0,0297	0,3578	0,0078	0,0124	0,0154	0,0175	0,0191	0,020	
	обрат.	3,311	0,5847	1,221	1,785	2,108	2,319	2,467	2,576	
Графит Н <sub>2</sub> О	необр.	0,1038	3,010	0,078	0,089	0,093	0,096	0,097	0,098	
	обрат.	3,323	2,815	2,45	2,82	2,97	3,05	3,10	3,14	
	CO	необр.	6,083	2,122	4,13	4,92	5,26	5,44	5,56	5,64
Древесный СО <sub>2</sub>	обрат.	53,107	2,061	35,76	42,74	45,71	47,36	48,41	49,13	
уголь H <sub>2</sub> O	необр.	16,12	1,049	8,304	10,984	12,308	13,098	13,622	13,996	
	обрат.	89,18	3,061	67,219	76,658	80,422	82,446	83,710	84,575	

доля ее существенно выше в атмосфере водяного пара. Хемосорбция молекул  $\mathrm{CO}_2$  и  $\mathrm{H}_2\mathrm{O}$  при весьма невысокой температуре исследований должна быть связана с ярко выраженными акцепторными свойствами этих молекул, проявлению которых благоприятствует наличие коллективизированных  $\pi$ -электронов в кристаллической решетке  $\mathrm{C}_{\mathrm{тв}}$ . Заметим, что большее сродство к электрону молекул  $\mathrm{H}_2\mathrm{O}$  ранее зафиксировано авторами при определении проводимости  $\mathrm{Fe}_2\mathrm{O}_3$ - $\alpha$  (n — полупроводника) в атмосфере водяного пара и диоксида углерода [7]. Результаты этих исследований приведены в табл. 2.

Закономерности адсорбционно-химических взаимодействий в ходе паровой и углекислотной газификации  $C_{_{TB}}$  были изучены путем измерения скорости поверхностных реакций. Эти измерения выполнены методом импульсной газовой хроматографии, что позволило исключить влияние диффузионного газообмена на результаты исследования. Полученные данные отражены в табл. 3.

Представленные результаты исследований свидетельствуют о значительных преимуществах паровой газификации  $C_{_{TB}}$  в сравнении с углекислотной. Эти преимущества возрастают с подъемом температуры. Таким образом, более высокие скорости реакции (2) относительно реакции (1) определяются совокупностью диффузионных и адсорбционно-химических процессов. Механизм реализации последних можно описать, опираясь на представления, развитые авторами [8, 9].

Таблица 2

## Температурная зависимость электропроводности $\mathrm{Fe_2O_3}\text{--}\alpha$ в атмосфере различных газов

Атмосфера	$\sigma$ , МОм $^{-1} \cdot$ м $^{-1} \cdot 10^{-2}$ при температуре, К						
	573	593	613	633	653	673	693
Ar	1,19	2,13	4,08	5,24	7,81	12,34	15,03
$Ar + 4 \% H_2O$	1,01	1,82	2,86	4,35	6,59	11,30	14,10
$Ar + 4 \% CO_2$	1,12	1,85	2,94	4,55	6,87	11,63	14,72

Таблица 3

### Скорость поверхностных реакций взаимодействия ${\rm CO_2}$ и ${\rm H_2O}$ с ${\rm C_{_{TB}}}$

Вид С	Темпера- тура, К	Реакцион- ный газ	Скорость газификации $C_{_{\rm TB}}$ , %/с
Графит -	1223	$CO_2$	0,044
		H <sub>2</sub> O	0,110
	1273	CO <sub>2</sub>	0,060
		H <sub>2</sub> O	0,206
Дре- весный - уголь	1222	$CO_2$	0,308
	1223	H <sub>2</sub> O	0,605
	1272	$CO_2$	0,431
	1273	H <sub>2</sub> O	1,460

Схема такого механизма выглядит следующим образом. Обе гетерогенные реакции, (1) и (2), начинаются с образования поверхностных адсорбционных комплексов:

$$C_n + CO_2 = C_n(O)_{anc}(CO)_{anc}, (3)$$

$$C_n + H_2O = C_n(O)_{anc}(H_2)_{anc}.$$
 (4)

Как было отмечено выше, образованию водородуглеродных комплексов принадлежат определенные преимущества. Они возрастают за счет большого различия в энергии химических связей в молекулах  $H_2O$  и  $CO_2$ . Она составляет 467,60 и 707,79 кДж/моль в связях O-H и C=O соответственно [10]. Следующий этап газификации  $C_{_{TB}}$  включает десорбцию CO и  $H_2$ , что не связано с разрушением структуры углеродистого материала и не требует больших энергетических затрат:

$$C_n(O)_{anc}(CO)_{anc} = C_n(O)_{anc} + CO; (5)$$

$$C_n(O)_{anc}(H_2)_{anc} = C_n(O)_{anc} + H_2.$$
 (6)

Заключительный этап обеих рассматриваемых реакций поставлен в идентичные условия — он требует существенных энергетических затрат, так как связан с изъятием атомов С из кристаллической решетки углерода:

$$C_n(O)_{anc} = C_{n-1} + CO.$$
 (7)

Следовательно, повышенные скорости адсорбционно-химических взаимодействий в реакции (2) связаны главным образом с условиями развития первого этапа окислительной газификации  $C_{_{TP}}$ .

Существенный интерес представляет изучение особенностей газификации углеродистых материалов с участием смесей  ${\rm CO_2-H_2O}$ . Результаты некоторых исследований, выполненных авторами, отражены на рис. 3.

Сопоставление экспериментальных данных свидетельствует о том, что сумма скоростей газификации углерода  $\mathrm{CO}_2$  и  $\mathrm{H}_2\mathrm{O}$ , осуществленной каждым из окислителей самостоятельно, уступает скорости процесса в потоке смеси этих газов. В основе такой неаддитивности результатов лежат следующие причины.

Выше  $\sim 1073$  К сродство  $H_2$  к кислороду больше, чем у СО (см. рис. 2). В совокупности с высокой концентрацией диоксида углерода в газовой фазе это обеспечивает течение реакции

$$CO_2 + H_2 = CO + H_2O.$$
 (8)

Регенерируемый водяной пар интенсифицирует газификацию  $C_{_{TB}}$ , обеспечивая неаддитивность результатов процесса с раздельной и совместной подачей в реактор  $CO_2$  и  $H_2O$ . В газификации углерода его диоксид участвует не только прямо, но и косвенно, так как окислительный потенциал  $CO_2$  дополнительно

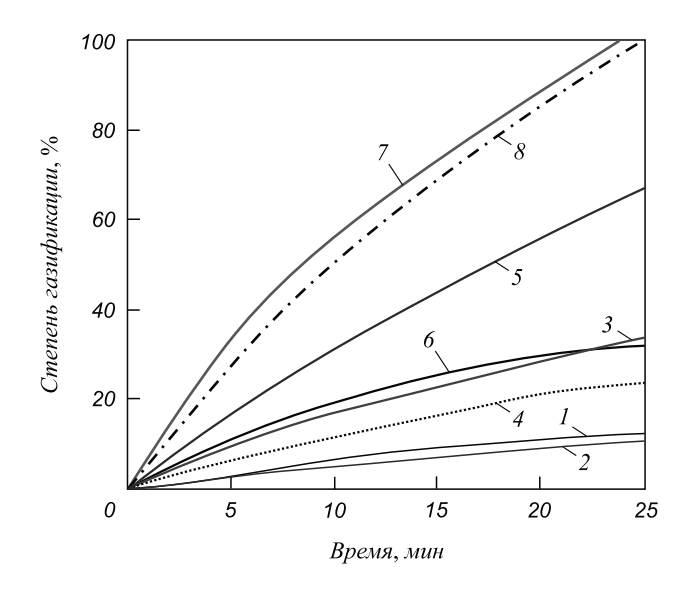


Рис. 3. Кинетика газификации графита (I-4) и древесного угля (5-8) смесями 70 %  $\rm CO_2+30$  % Ar (I, S), 30 %  $\rm H_2O+70$  % Ar (I, I) и 70 %  $\rm CO_2+30$  %  $\rm H_2O$  (I) при 1273 К. Суммарный результат газификации  $\rm C_{TB}$  первой и второй смесью (I, I).

используется через посредничество водорода по реакции (8).

**Выводы.** Представленные результаты исследований раскрывают причины несоответствия между термодинамическими возможностями и реальным соотноше-

нием скоростей гетерогенных реакций (1) и (2). Преимущества последней определяются более интенсивным развитием диффузионного газообмена и адсорбционнохимических взаимодействий с участием  $H_2O-H_2$ .

#### БИБЛИОГРАФИЧЕСКИЙ СПИСОК

- 1. Гольдштейн Н.Л. Водород в доменном процессе. М.: Металлургия, 1971. 208 с.
- Некрасов З.И., Москалина Н.Ф. // Сталь. 1962. № 9. С. 773 – 776.
- Симонов В.К., Руденко Л.Н., Гришин А.М. и др. // Изв. вуз. Черная металлургия. 1994. № 11. С.6 – 8.
- **4.** Гришин А.М., Симонов В.К., Власенко В.Н. //Новини науки Придніпров'я. 2010. Май. С. 129 131.
- 5. Казачков Е.А. Расчеты по теории металлургических процессов. М.: Металлургия, 1988. 288 с.
- Богданди Л., Энгель Г.-Ю. Восстановление железных руд. Пер. с нем. –М.: Металлургия, 1971. – 519 с.
- Симонов В.К., Островский В.М. // Теория и практика металлургии. 1998. № 2. С. 25 – 27.
- 8. Ростов цев С.Т. Теория металлургических процессов. М.: Металлургиздат, 1956. 515 с.
- Есин О.А., Гельд П.В. Физическая химия пирометаллургических процессов. Ч. І. – Свердловск: Металлургиздат, 1962. – 671с.
- 10. Гюльмалиев А.М., Головин Г.С., Гладун Т.Г. Теоретические основы химии угля. М.: МГорУ, 2003. 536 с.

© 2013 г. А.М. Гришин, В.К. Симонов, И.С. Щеглова Поступила 20 марта 2013 г.